

и звёзд, а следовательно, и соотношения масса—светимость, по к-рому строится диаграмма Герцшпрунга—Ресселла. С учётом времени, ушедшего на образование шаровых скоплений, значение возраста Вселенной, установленного этим методом, составляет 11—18 млрд. лет.

Третий метод определения возраста — метод ядерной К.— основан на исследовании относит. содержания радиоактивных долгоживущих изотопов, к-рое меняется со временем как из-за радиоакт. распада ядер, так и вследствие др. радиоакт. превращений в процессе продолжающегося нуклеосинтеза. Знание закона изменения относит. концентраций изотопов позволяет определить возраст исследуемого объекта. Для анализа времён порядка млрд. лет и больше используются ядра-хронометры с длительным периодом полураспада (табл. 1).

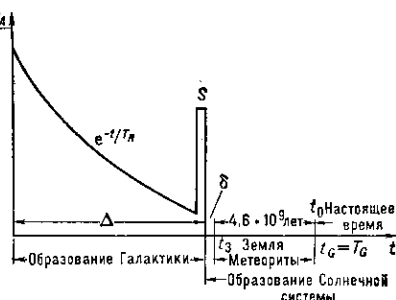
Табл. 1. — Долгоживущие ядра-хронометры

Ядро	Продукт распада	Период полураствора, млрд. лет	В каких процессах образуется
^{40}K	$^{40}\text{Ca}, ^{40}\text{Ar}$	1, 28	s
^{87}Rb	^{87}Sr	48	r, s
^{113}Cd	^{113}In	$9 \cdot 10^6$	s
^{123}Te	^{123}Sb	$1, 24 \cdot 10^4$	s
^{138}La	^{138}Ba	135	p*
^{144}Nd	^{144}Ce	$2, 1 \cdot 10^6$	s, r
^{147}Sm	^{143}Nd	106	s, r
^{148}Sm	^{144}Nd	$7 \cdot 10^6$	s
^{152}Gd	^{148}Sm	$1, 1 \cdot 10^6$	s
^{176}Lu	^{176}Hf	36	s
^{188}Os	^{182}W	$2, 0 \cdot 10^6$	s
^{187}Re	^{187}Os	50	s, r
^{190}Pt	^{186}Os	610	p*
^{232}Th	^{208}Pb	14, 05	r
^{235}U	^{207}Pb	0, 704	r
^{238}U	^{206}Pb	4, 468	r

* Обогащённые протонами нуклиды.

Наиб. широко из представленных в табл. изотопов для определения возраста Вселенной применяют изотопы U и Th, к-рые образуются только в быстром ядерном процессе — *r*-процессе (*r*-rapid), протекающем при высоких темп-рах, больших плотностях свободных нейтронов и сопровождающемся многократными нейтронными захватами с образованием нейтронизбыточных ядер (см. Ядерная астрофизика).

Рис. 2. Зависимость скорости галактического нуклеосинтеза от времени (по Фаулеру). Значение $t=0$ соответствует времени образования Галактики, S — вклад от вспышки сверхновой.



Использование для К. более лёгких изотопов из табл. 1 требует учёта также и медленного процесса — *s*-процесса (*s*-slow) нейтронного захвата, протекающего при гораздо меньших темп-рах и плотностях свободных нейтронов. Хотя одновременный учёт влияния как *r*-, так и *s*-процессов на образование ядер-хронометров сложен, данные о T_U , полученные методами ядерной К., укладываются в интервал 10—20 млрд. лет и пока не дают большей точности. Надежды на более точное определение T_U связываются с U—Th-методом потому, что изотопы ^{236}U , ^{238}U и ^{232}Th образуются в одном

r-процессе, теория которого достаточно полно разработана.

Метод определения возраста по анализу содержания в них урана предложил Э. Резерфорд (E. Rutherford, 1929). Совр. основы методов ядерной К. разработал У. Фаулер (W. Fowler, 1957—61). Согласно Фаулеру, интенсивность нуклеосинтеза ядер в *r*-процессе уменьшается от момента образования Галактики ($t=0$) до момента $t=\Delta$ (Δ — продолжительность нуклеосинтеза) по экспоненциальному закону с временной постоянной T_R (рис. 2). Образование Солнечной системы в момент t_G предшествовало период конденсации вещества, начавшийся после окончания нуклеосинтеза (его длительность на рис. обозначена δ). Развитием экспоненциальной модели Фаулеря явилось введение всплеска интенсивности нуклеосинтеза (S). Пик нуклеосинтеза S был введен из-за обнаружения в метео-

Табл. 2. — Короткоживущие ядра-хронометры

Ядро	Продукт распада	Период полураствора, млн. лет	В каких процессах образуется
^{26}Al	^{26}Mg	0, 72	r
^{53}Mn	^{53}Cr	3, 7	r
^{107}Pd	^{107}Ag	6, 5	s
^{129}I	^{129}Xe	17	s, r
^{148}Sm	^{142}Nd	103	r
^{205}Pb	^{205}Tl	14	s
^{244}Pu	^{233}Th	8, 2	r
^{247}Cm	^{243}U	16	r

ритном веществе следов относительно короткоживущих (в масштабе 10^{10} лет) изотопов ^{244}Pu , ^{129}I и др. (табл. 2), что, возможно, вызвано близким взрывом сверхновой звезды, произошедшим до или во время образования Солнечной системы.

Зависимость скорости нуклеосинтеза от времени, представленная на рис. 2, описывается ур-нием для концентрации N_A ядра с данным массовым числом A :

$$\frac{dN_A}{dt} = -\frac{N_A}{\tau_A} + \lambda_A \cdot e^{-t/T_R} + \lambda_A \Delta_s \delta (t - \Delta); \quad 0 \leq t \leq \Delta, \quad (2)$$

где τ_A — период полураствора ядра A , λ_A — скорость его образования, Δ_s — продолжительность нуклеосинтеза в *S*-чики, определяемая тем, что произведение $\lambda_A \Delta_s$ даёт число образовавшихся ядер с данным значением A . До сформирования Галактики ядра тяжелее ^4He не синтезировались, поэтому $N_A(t=0)=0$. Ур-ние (2) решается аналитически и содержит для двух изотопных отображений

$$\lambda_{58} = N(^{235}\text{U})/N(^{238}\text{U}) \quad \text{и} \quad \lambda_{28} = N(^{232}\text{Th})/N(^{238}\text{U})$$

четыре неизвестных параметра: Δ , T_R , S и δ . Зная из наблюдений значения $\lambda_{28}=3,75$ и $\lambda_{58}=0,007253$ и используя закон радиоакт. распада (см. Радиоактивность), можно определить относит. концентрации изотопов в момент $\Delta+\delta$. Хотя период $\delta < 2 \cdot 10^8$ лет относительно мал и на обилие U и Th существенно не влияет, величина δ определяется тем не менее довольно успешно (по анализу продуктов распада короткоживущих изотопов-хронометров, представленных в табл. 2). Из трёх оставшихся неопределённых параметров два фиксируются отношением $T_R/\Delta=0,43$, полученным Фаулером из анализа относит. концентрации $^{187}\text{Re}/^{187}\text{Os}$ и $^{176}\text{Lu}/^{176}\text{Hf}$ хронометрич. пар Re—Os и Lu—Hf. Оставшаяся неопределенность во влиянии *S*-чики (взрыва сверхновой на наблюдаемую распространённость элементов) может быть снята при получении более точных данных об относит. концентрациях ^{244}Pu , а возможно также ^{247}Cm и др. ядер из табл. 2. Многочисл. расчёты возраста вещества Галактики t_G уран-ториевым методом дают у разных исследователей различающиеся значения, но укладывающиеся в основном в определён-